



١٤٨٠٩٣



دانشگاه آزاد اسلامی

واحد شاهروド

دانشکده علوم پایه، گروه شیمی

پایان نامه برای دریافت درجه کارشناسی ارشد "M. Sc"

گرایش: شیمی فیزیک

عنوان:

بررسی و مطالعه جذب گازهای CO و NO بر روی
نانو خوشه های بورنیتريد $(BN)n=3-5$

استاد راهنمای:

دکتر عبدالحکیم پنق

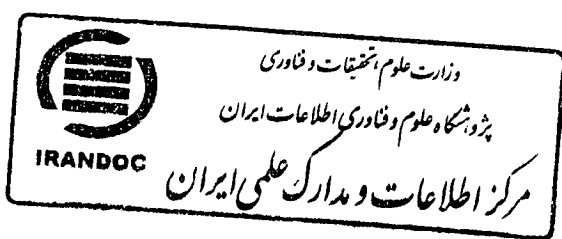
استاد مشاور:

دکتر مجید مظفری

نگارش:

حامد قربان پور

زمستان ۸۹



۱۵۸۰۹۳

۱۳۹۰/۲/



دانشگاه آزاد اسلامی

واحد شاهرود

دانشکده علوم پایه، گروه شیمی

پایان نامه برای دریافت کارشناسی ارشد «M.Sc»

گرایش: شیمی فیزیک

عنوان:

بررسی و مطالعه جذب گازهای CO و NO بر روی نانو خوشه های
(BN) $n=3-5$ بورنیتید

نگارش:

حامد قربان پور

زمستان ۱۳۸۹

۱. دکتر عبدالحکیم پنق

هیأت داوران:

۲. دکتر مجید مظفری

۳. دکتر فرامرز طیاری

۴. دکتر بهزاد چهکندی

۱۳۹۰/۳/۸



بسمه تعالیٰ

تعهد نامه اصالت رساله پایان نامه

اینجانب حامد قربان پور دانش آموخته مقطع کارشناسی ارشد ناپیوسته در رشته شیمی فیزیک که در تاریخ ۱۳۸۹/۱۲/۱۴ از پایان نامه خود تحت عنوان "بررسی و مطالعه جذب گازهای CO و NO بر روی نانو خوش های بور-نیترید ۵-n=3.5 (BN)" با کسب نمره ۱۷ و درجه عالی دفاع نموده ام بدین وسیله متعهد می شوم:

- ۱) این پایان نامه /رساله حاصل تحقیق و پژوهش انجام شده توسط اینجانب بوده و در مواردی که از دستاوردهای علمی و پژوهشی دیگران (اعم از پایان نامه، کتاب، مقاله و...) استفاده نموده ام، مطابق ضوابط و رویه موجود، نام منبع مورد استفاده و سایر مشخصات آن را در فهرست مربوطه ذکر و درج کرده ام.
- ۲) این پایان نامه/رساله قبل از دریافت هیچ مدرک تحصیلی (هم سطح، پاییین تر یا بالاتر) در سایر دانشگاه ها و موسسات آموزش عالی ارائه نشده است.
- ۳) چنانچه بعد از فراغت تحصیل، قصد استفاده و هر گونه بهره برداری اعم از چاپ کتاب، ثبت اختراع و... از این پایان نامه داشته باشم، از حوزه معاونت پژوهشی واحد مجوزهای مربوطه را اخذ نمایم.
- ۴) چنانچه در هر مقطعی زمانی خلاف موارد فوق ثابت شود، عواقب ناشی از آن را می پذیرم و واحد دانشگاهی مجاز است با این جانب مطابق ضوابط و مقررات رفتار نموده و در صورت ابطال مدرک تحصیلی ام هیچگونه ادعایی نخواهم داشت.

حامد قربان پور
امضاء و تاریخ

۱۳۹۰/۱۰/۰۹

سپاسگزارم :

خدای بی همتا را که در لحظه لحظه زندگی ، وجودش را با تمام وجودم حس کردم و در تمام طول حیاتم از او یاری طلبیده و می طلبم از او می خواهم به من اراده ای توانا دهد ، تا تمام وجودم را وقف مستمندان و نیازمندان سازم .

از او می خواهم مرا همیشه یاری کند تا خدمتگزار خوبی برای تمام نیازمندان جامعه باشم .

او خود حافظ و هادی همگان می باشد و بس

با تشکر و سپاس بی پایان از خدمات ارزشمند اساتید گرانقدرم

جناب آقای دکتر عبدالحکیم پنق

جناب آقای دکتر مجید مظفری

جناب آقای دکتر فرامرز طیاری

جناب آقای دکتر بهزاد چهکندي

و سایر اساتیدی که در دوره تحصیل مرا یاری نمودند .

باشد که سایه پر فروغ این اساتید فرزانه همواره روشنایی بخش جامعه علمی باشد .

تقدیم به الهه عشق ، ملکه خوبیها ؛ مادرم

فرشته مهربانی که تمام مرا رتها را به جان خرید ، همواره پشتیبان من در تمام مراحل زندگیم بوده است و به من درس پایداری آموخت ، مادر عزیزم لحظه لحظه زندگیم آکنده از مهربانی ها و محبتهای بی دریغ توست .
این تقدیم بی ارجحی است از ذره به خورشید .

تقدیم به اسطوره مردانگی ؛ پدرم

که وجودم ، همه برایش رنج بود و رنج وجودش برای همه عشق بود و عشق توانش رفت تا به توانایی برسم با نگاه پر فروغش و با عشق به زندگی اش به من درس زندگی آموخت

تقدیم به خواهران عزیزتر از جانم و برادران عزیزم ؛

یاران و یاوران همیشگی ام که در تمام مراحل زندگی ، یاری ام کردند .
موفقیت شما در تمام مراحل زندگی آرزوی من است .

فهرست مطالب

عنوان	صفحه
چکیده	۱
فصل اول: مقدمه، تاریخچه نانو، برهمنکش بین مولکولی	
۱-۱. نانو تکنولوژی	۲
۱-۲. دیدگاههای موجود در نانو تکنولوژی	۳
۱-۲-۱. تاریخچه نانو تکنولوژی	۴
۱-۲-۲. دسته بندی نانو ذرات	۵
۱-۲-۳. کاربردهای فناوری نانو	۵
۱-۳. برهم کنش های بین مولکولی	۱۱
۱-۴. انواع برهم کنش های بین مولکولی برهم کنش های از نظر دیدگاه کیفی	۱۱
۱-۴-۱. برهم کنش های الکترواستاتیک مستقیم	۱۲
۱-۴-۱-۱. حالت عمومی	۱۲
۱-۴-۱-۲. ممان های چند قطبی	۱۲
۱-۴-۲. برهم کنش های رزونانسی	۱۲
۱-۴-۳. برهم کنش های قطبی	۱۳
۱-۴-۳-۱. برهم کنش القایی	۱۳
۱-۴-۳-۲. برهم کنش های پاشیدگی (پراکندگی)	۱۴
۱-۴-۴. برهم کنش های تبادلی	۱۴
۱-۴-۵. برهم کنش های تأخیری	۱۴
۱-۴-۶. برهم کنش های تداخلی (مغناطیسی)	۱۵
۱-۴-۷. برهم کنش بین اجسام ماکروسکوپیک	۱۵
۱-۵. نیروها در شیمی	۱۵
۱-۵-۱. نیروهای جاذبه	۱۶

۱۶-	۱-۵-۱. نیروهای اولیه
۱۷-	۱-۵-۲. نیروهای ثانویه
۱۸-	۱-۵-۳-۱. نیروی دو قطبی-دو قطبی
۱۹-	۱-۵-۳-۲. نیروی دو قطبی-دو قطبی القا شده
۱۹-	۱-۵-۳-۳. نیروی پاشیدگی
۲۰-	۱-۵-۴. پیوند هیدروژنی
۲۰-	۱-۵-۵. نیروهای دافعه

فصل دوم: روش‌های محاسبات کوانتمومی

۲۲-	۲-۱. مقدمه
۲۳-	۲-۲. طبقه‌بندی روش‌های کوانتمومی
۲۳-	۲-۲-۱. روش‌های نیمه تجربی
۲۵-	۲-۲-۲. روش‌های آغازین
۲۵-	۲-۲-۲-۱. روش هارتی - فاک (HF)
۲۶-	۲-۲-۲-۲. روش ماتریس دانسیته
۲۷-	۲-۲-۲-۳. تئوری اختلال Muller-plesset
۲۷-	۲-۲-۲-۴. روش‌های فوق هارتی - فاک (روش‌های همبستگی الکترون)
۲۸-	۲-۲-۲-۵. روش‌های همبستگی ورد شی
۲۹-	۲-۲-۲-۶. روش‌های همبستگی اختلال
۳۰-	۲-۲-۲-۷. توابع پایه
۳۳-	۲-۲-۲-۸. سری‌های پایه
۳۴-	۲-۲-۲-۹. سری‌های پایه نوع پاپل
۳۶-	۲-۳-۱. تئوری کوانتمومی اتمها در مولکولها (QTAIM)
۳۶-	۲-۳-۲-۱. توبولوزی چگالی الکترون از دیدگاه QTAIM

۳۸-	۲-۳-۲. مفاهیم نقطه‌ی بحرانی، مسیر پیوند، مسیر ویریال، گراف مولکولی، گراف ویریال
۴۰-	۳-۳-۲. تقسیم بندی اتمی خواص مولکولی
۴۱-	۴-۳-۲. دسته بندی نقاط بحرانی
۴۴-	۵-۳-۲. خواص پیوندی
۴۴-	۱-۵-۳-۲. چگالی الکترونی در نقطه‌ی بحرانی پیوند (ρb)
۴۴-	۲-۵-۳-۲. لاپلاسین چگالی الکترونی در نقطه‌ی بحرانی پیوند ($\nabla^2 \rho b$)
۴۵-	۳-۵-۳-۲. بیضیت پیوند (E)
۴۶-	۴-۵-۳-۲. چگالی‌های انرژی در نقطه‌ی بحرانی پیوند
۴۷-	۵-۵-۳-۲. عدم استقرار الکترون (تبادل) بین اتمهای پیوند یافته، عنوان میزانی از مرتبه‌ی پیوند

فصل سوم: روش کار، محاسبات

۴۹-	۳-۱. بحث مقدماتی
۵۰-	۳-۱. بخش اول
۵۰-	۳-۱-۱. ترسیم و تعیین شکل هندسی نانو خوش‌های بورنیترید $(BN)_{n=3-5}$
۵۱-	۳-۱-۲. بهینه سازی ساختار نانو خوش‌های بورنیترید خالص $(BN)_{n=3-5}$
۵۲-	۳-۱-۳. جذب کربن مونوکسید بر روی نانو خوش‌های بورنیترید
۵۲-	۳-۱-۳-۱. بهینه سازی ساختار نانو خوش‌های بورنیترید $(BN)_{n=3-5}$ با جذب CO از طریق کربن
۵۶-	۳-۱-۳-۲. بهینه سازی ساختار نانو خوش‌های بورنیترید $(BN)_{n=3-5}$ با جذب CO از طریق اکسیژن
۶۰-	۳-۱-۴. جذب نیتروژن مونوکسید بر روی نانو خوش‌های بورنیترید
۶۱-	۳-۱-۴-۱. بهینه سازی ساختار نانو خوش‌های بورنیترید $(BN)_{n=3-5}$ با جذب NO از طریق نیتروژن

از	$(BN)_{n=3-5}$	با جذب NO	۳-۱-۴-۲. بهینه سازی ساختار نانو خوشه های بورنیتريد
۶۵-	طريق اکسیژن		
۷۱-	۳-۱-۵. محاسبه انرژی بر همکنش با تصحیح BSSE		
۷۵-	۳-۲-۱. بخش دوم		
۷۵-	۳-۲-۲-۱. تحلیل پارامترهای AIM		
۷۵-	۳-۲-۱-۱-۱. تحلیل پارامتر های AIM برای جذب مولکول CO از طریق کربن به نانو خوشه های بورنیتريد		
۷۷-	۳-۲-۱-۲-۱. تحلیل پارامترهای AIM برای جذب مولکول CO از طریق اکسیژن به نانو خوشه های بورنیتريد		
۸۰-	۳-۲-۱-۲-۳. تحلیل پارامترهای AIM برای جذب مولکول NO از طریق نیتروژن به نانو خوشه های بورنیتريد		
۸۱-	۳-۲-۱-۳-۱. تحلیل پارامترهای AIM برای جذب مولکول NO از طریق اکسیژن به نانو خوشه های بورنیتريد		
۹۰-	۳-۳-۱. بخش سوم		
۸۶-	۳-۳-۲-۱. آنالیز NBO		
۹۰-	۳-۳-۴. نتیجه گیری نهایی		
۹۱-	(پ-۱). ساختار بهینه شده نانو خوشه بور نیتريد خالص $(BN)_3$		
۹۱-	(پ-۲). برهمکنش (kcal/mol) درون مولکولی خوشه بور نیتريد خالص $(BN)_3$		
۹۲-	(پ-۳). ساختار بهینه شده کمپلکس $(BN)_3...CO$		
۹۲-	(پ-۴). برهمکنش (kcal/mol) درون مولکولی خوشه بور نیتريد در کمپلکس $(BN)_3...CO$		
۹۳-	(پ-۵). انتقال محاسبه شده دربرهمکنش بین مولکولی در کمپلکس $(BN)_3...CO$		

(پ-۶). ساختار بهینه شده کمپلکس $(BN)_3...OC$ ۹۴

(پ-۷). برهمکنش (kcal/mol) درون مولکولی خوشء بورنیترید در کمپلکس ۹۴- $(BN)_3...OC$

(پ-۸). انتقال محاسبه شده دربرهمکنش بین مولکولی در کمپلکس ۹۵- $(BN)_3...OC$

(پ-۹). ساختار بهینه شده کمپلکس $(BN)_3...NO$ ۹۶-

(پ-۱۰). برهمکنش (kcal/mol) درون مولکولی خوشء بورنیترید در کمپلکس ۹۶- $(BN)_3...NO$

(پ-۱۱). انتقال محاسبه شده دربرهمکنش بین مولکولی در کمپلکس ۹۷- $(BN)_3...NO$

(پ-۱۲). ساختار بهینه شده کمپلکس $(BN)_3...ON$ ۹۸-

(پ-۱۳). برهمکنش (kcal/mol) درون مولکولی خوشء بورنیترید در کمپلکس ۹۸- $(BN)_3...ON$

(پ-۱۴). انتقال محاسبه شده دربرهمکنش بین مولکولی در کمپلکس ۹۹- $(BN)_3...ON$

(پ-۱۵). ساختار بهینه شده نانوخوشه بور نیترید خالص ۱۰۰- $(BN)_4$

(پ-۱۶). برهمکنش (kcal/mol) درون مولکولی خوشء بور نیترید خالص ۱۰۰- $(BN)_4$

(پ-۱۷). ساختار بهینه شده کمپلکس $(BN)_4...CO$ ۱۰۱-

(پ-۱۸). برهمکنش (kcal/mol) درون مولکولی خوشء بورنیترید در کمپلکس ۱۰۱- $(BN)_4...CO$

(پ-۱۹). انتقال محاسبه شده دربرهمکنش بین مولکولی در کمپلکس ۱۰۲- $(BN)_4...CO$

(پ-۲۰). ساختار بهینه شده کمپلکس $(BN)_4...OC$ ۱۰۴-

(پ-۲۱). برهمکنش (kcal/mol) درون مولکولی خوشء بورنیترید در کمپلکس ۱۰۴- $(BN)_4...OC$

(پ-۲۲). انتقال محاسبه شده دربرهمکنش بین مولکولی در کمپلکس ۱۰۵- $(BN)_4...OC$

(پ-۲۳). ساختار بهینه شده کمپلکس $(BN)_4...NO$ ۱۰۶-

(پ-۲۵). برهمکنش (kcal/mol) درون مولکولی خوش‌بُور‌نیترید در کمپلکس
۱۰۶ $(BN)_4...NO$

(پ-۲۶). انتقال محاسبه شده در برهمکنش بین مولکولی در کمپلکس
۱۰۷ $(BN)_4...NO$

(پ-۲۷). ساختار بهینه شده کمپلکس
۱۰۸ $(BN)_4...ON$

(پ-۲۸). برهمکنش (kcal/mol) درون مولکولی خوش‌بُور‌نیترید در کمپلکس
۱۰۸ $(BN)_4...ON$

(پ-۲۹). انتقال محاسبه شده در برهمکنش بین مولکولی در کمپلکس
۱۰۹ $(BN)_4...ON$

(پ-۳۰). ساختار بهینه شده نانوخوش‌بُور‌نیترید خالص
۱۱۰ $(BN)_5$

(پ-۳۱). برهمکنش (kcal/mol) درون مولکولی خوش‌بُور‌نیترید خالص
۱۱۰ $(BN)_5$

(پ-۳۲). ساختار بهینه شده کمپلکس
۱۱۱ $(BN)_5...CO$

(پ-۳۳). برهمکنش (kcal/mol) درون مولکولی خوش‌بُور‌نیترید در کمپلکس
۱۱۱ $(BN)_5...CO$

(پ-۳۴). انتقال محاسبه شده در برهمکنش بین مولکولی در کمپلکس
۱۱۴ $(BN)_5...CO$

(پ-۳۵). ساختار بهینه شده کمپلکس
۱۱۵ $(BN)_5...OC$

(پ-۳۶). برهمکنش (kcal/mol) درون مولکولی خوش‌بُور‌نیترید در کمپلکس
۱۱۵ $(BN)_5...OC$

(پ-۳۷). انتقال محاسبه شده در برهمکنش بین مولکولی در کمپلکس
۱۱۶ $(BN)_5...OC$

(پ-۳۸). ساختار بهینه شده کمپلکس
۱۱۷ $(BN)_5...NO$

(پ-۳۹). برهمکنش (kcal/mol) درون مولکولی خوش‌بُور‌نیترید در کمپلکس
۱۱۷ $(BN)_5...NO$

(پ-۴۰). انتقال محاسبه شده در برهمکنش بین مولکولی در کمپلکس
۱۱۹ $(BN)_5...NO$

(پ-۴۱). ساختار بهینه شده کمپلکس
۱۲۰ $(BN)_5...ON$

(پ-۴۲). برهمکنش (kcal/mol) درون مولکولی خوش‌بُور‌نیترید در کمپلکس
۱۲۰ $(BN)_5...ON$

۱۲۱-	(BN) _{5...ON}	(پ-۴۳). انتقال محاسبه شده دربرهمکنش بین مولکولی در کمپلکس
۱۲۲-		فهرست منابع فارسی
۱۲۳-		فهرست منابع غیر فارسی
۱۲۵-		چکیده انگلیسی

فهرست شکل ها

صفحه	عنوان
	شکل (۱-۱). نیروی جاذبه دوقطبی - دوقطبی بین دو مولکول کلرومتان ۱۸-
	شکل (۱-۲). طرحی از نیروی جاذبه دوقطبی - دوقطبی الفا شده ۱۹-
	شکل (۱-۲). توابع اسلیتری و گوسی برای اوریتال $1s$ ۳۲-
	شکل (۲-۲). مولکول BF_3 از دیدگاه QTAIM ۳۸-
	شکل (۳-۲). گراف مولکولی (a) کوبان و (b) متیل - ۴ و ۱۲ - دی فلوئور و [4] هلیسن ۴۳-
۵۰-	$(BN)_{n=3-5}$ شکل (۱-۳). ساختار هندسی نانو خوشه های بورنیتroid خالص
۵۱-	$(R_{B-N})BN$ شکل (۲-۳). رابطه بین تعداد مولکول های BN در خوشه ها با فاصله طول پیوند در $(BN)_{n=3-5}$
۵۳-	شکل (۳-۳). ساخت ساختارهای هندسی بهینه شده نانو خوشه های $(BN)_{n=3-5}...CO$
۵۵-	شکل (۴-۳). رابطه بین تعداد مولکول های BN در خوشه ها با فاصله طول پیوند در کمپلکس $(BN)_{n=3-5}...CO$
۵۶-	شکل (۵-۳). رابطه بین تعداد مولکول های BN در خوشه ها با فاصله بین مولکول CO و خوشه $(R_{B...C})$ در کمپلکس های $(BN)_{n=3-5}...CO$
۵۷-	شکل (۶-۳). ساخت ساختارهای هندسی بهینه شده نانو خوشه های $(BN)_{n=3-5}...OC$
۵۹-	شکل (۷-۳). رابطه بین تعداد مولکول های BN در خوشه ها با فاصله طول پیوند در کمپلکس های $(BN)_{n=3-5}...OC$
۶۰-	شکل (۸-۳). رابطه بین تعداد مولکول های BN در خوشه ها با فاصله بین مولکول CO و خوشه $(R_{B...O})$ در کمپلکس های $(BN)_{n=3-5}...OC$

شکل(۳-۹). ساختارهای هندسی بهینه شده نانو خوشه های $(BN)_{n=3-5...NO}$

شکل(۳-۱۰). رابطه بین تعداد مولکول های BN در خوشه ها با فاصله طول پیوند $(R_{B-N})^{BN}$

در کمپلکس های $(BN)_{n=3-5...NO}$

شکل(۳-۱۱). رابطه بین تعداد مولکول های BN در خوشه ها با فاصله بین مولکول NO و خوشه

در کمپلکس های $(R_{B...N})^{(BN)_{n=3-5...NO}}$

شکل(۳-۱۲). ساختارهای هندسی بهینه شده نانو خوشه های $(BN)_{n=3-5...ON}$

شکل های(۳-۱۳). رابطه بین تعداد مولکول های BN در خوشه ها با فاصله طول پیوند $(R_{B-N})^{BN}$

در کمپلکس های $(BN)_{n=3-5...ON}$

شکل(۳-۱۴). رابطه بین تعداد مولکول های BN در خوشه ها با فاصله بین مولکول NO و خوشه

در کمپلکس های $(R_{B...O})^{(BN)_{n=3-5...ON}}$

شکل(۳-۱۵). ارتباط بین فرکانس ارتعاشات کششی، با طول پیوند B و مولکول CO یا NO در کمپلکس های

و $(BN)_{n=3-5...NO}$ ، $(BN)_{n=3-5...OC}$ ، $(BN)_{n=3-5...CO}$

شکل(۳-۱۶). ارتباط بین تعداد مولکول های BN با ممان دو قطبی در کمپلکس های

$(BN)_{n=3-5...ON}$ و $(BN)_{n=3-5...NO}$ ، $(BN)_{n=3-5...OC}$ ، $(BN)_{n=3-5...CO}$

شکل(۳-۱۷). ارتباط بین تعداد مولکول های BN با انرژی برهمکنش در کمپلکس های

و $(BN)_{n=3-5...ON}$ ، $(BN)_{n=3-5...NO}$ ، $(BN)_{n=3-5...OC}$ ، $(BN)_{n=3-5...CO}$

شکل(۳-۱۸). رابطه بین فاصله بار $(\rho_{B...C})^{(R_{B...C})}$ با دانسیته بار در کمپلکس های

$(BN)_{n=3-5...CO}$

شکل(۳-۱۹). رابطه بین فاصله $(R_{B...C})$ در کمپلکس های بالا پلاسین با $(\nabla^2 \rho_{B...C})$ (BN)_{n=3-5...CO}

شکل (۳-۲۰) . رابطه بین فاصله $(R_{B...O})$ در کمپلکس های با دانسیته بار $(\rho_{B...O})$ (BN)_{n=3-5...OC}

شکل(۳-۲۱) . رابطه بین فاصله $(R_{B...O})$ در کمپلکس های بالا پلاسین با $(\nabla^2 \rho_{B...O})$ (BN)_{n=3-5...OC}

شکل(۳-۲۲). رابطه بین فاصله $(R_{B...N})$ در کمپلکس های با دانسیته بار $(\rho_{B...N})$ (BN)_{n=3-5...NO}

شکل(۳-۲۳). رابطه بین فاصله $(R_{B...N})$ در کمپلکس های بالا پلاسین با $(\nabla^2 \rho_{B...N})$ (BN)_{n=3-5...NO}

شکل(۳-۲۴). رابطه بین فاصله $(R_{B...O})$ در کمپلکس های با دانسیته بار $(\rho_{B...O})$ (BN)_{n=3-5...ON}

شکل(۳-۲۵). رابطه بین فاصله $(R_{B...O})$ در کمپلکس های لایپلاسین با $(\nabla^2 \rho_{B...O})$ (BN)_{n=3-5...ON}

شکل(۳-۲۶). برهمکنش های $\pi^* \rightarrow \pi$ و $n^* \rightarrow n$ درون مولکولی، خوشه های ۵-۳

شکل(۳-۲۷). نقاط بحرانی پیوندبرای جذب مولکول CO از طریق اکسیژن به نانو خوشه های بور نیترید

شکل(۲۷-۳). نقاط بحرانی پیوندبرای جذب مولکول NO از طریق نیتروژن به نانو خوشه های

بور نیترید ۸۷-----

شکل(۲۹-۳). نقاط بحرانی پیوندبرای جذب مولکول NO از طریق اکسیژن به نانو خوشه های

بور نیترید ۸۸-----

شکل(۳۰-۳). برهمکنش های π^* و $n \rightarrow n^*$ درون مولکولی، خوشه های $n=3-5$ ۸۹ (BN)

فهرست جداول

صفحه	عنوان
٤٣	جدول(۱-۲). دسته بندی نقاط بحرانی
٥١	جدول(۱-۳) . پارامترهای ساختاری و ممان دو قطبی در نانوخوشه های بورنیتید خالص $(BN)_{n=3-5}$
٥٤	جدول(۲-۲). پارامترهای ساختاری، ممان دو قطبی، فرکانس کششی ارتعاشی و فاصله بین نانوخوشه و مولکول CO در کمپلکس های $(BN)_{n=3-5...CO}$
٥٨	جدول(۲-۳). پارامترهای ساختاری، ممان دو قطبی، فرکانس کششی ارتعاشی و فاصله بین نانوخوشه و مولکول CO در کمپلکس های $(BN)_{n=3-5...OC}$
٦٢	جدول(۳-۴). پارامترهای ساختاری، ممان دو قطبی، فرکانس کششی ارتعاشی و فاصله بین نانوخوشه و مولکول NO در کمپلکس های $(BN)_{n=3-5...NO}$
٦٦	جدول(۳-۵) . پارامترهای ساختاری، ممان دو قطبی، فرکانس کششی ارتعاشی و فاصله بین نانوخوشه و مولکول NO در کمپلکس های $(BN)_{n=3-5...ON}$
٧١	جدول(۶-۳). انرژی بر همکنش بین نانو خوشه ها و مولکول CO از طریق کربن، در کمپلکس های $(BN)_{n=3-5...CO}$
٧٢	جدول(۷-۳) . انرژی بر همکنش بین نانو خوشه ها و مولکول CO از طریق اکسیژن در کمپلکس های $(BN)_{n=3-5...OC}$

جدول(۸-۳). انرژی بر همکنش بین نانو خوشه ها و مولکول NO از طریق نیتروژن در

72 ----- کمپلکس های $(BN)_{n=3-5}...NO$

جدول(۹-۳). انرژی بر همکنش بین نانو خوشه ها و مولکول NO از طریق اکسیژن در

73 ----- کمپلکس های $(BN)_{n=3-5}...ON$

جدول(۱۰-۳). پارامترهای توپولوژیکال (برحسب $(a.u.)$) برای جذب مولکول CO از طریق

75 ----- کربن به نانو خوشه های بورنیتید

جدول(۱۱-۳). پارامترهای توپولوژیکال (برحسب $(a.u.)$) برای جذب مولکول CO از طریق

78 ----- اکسیژن به نانو خوشه های بورنیتید

جدول(۱۲-۳). پارامترهای توپولوژیکال (برحسب $(a.u.)$) برای جذب مولکول NO از طریق

80 ----- نیتروژن به نانو خوشه های بورنیتید

جدول(۱۳-۳). پارامترهای توپولوژیکال (برحسب $(a.u.)$) برای جذب مولکول NO از طریق

82 ----- نیتروژن به نانو خوشه های بورنیتید

چکیده

در این پژوهه جذب مولکولهای NO و CO بر روی نانو خوشه های بورنیتیریدی $(\text{BN})_{n=3-5}$ (بررسی شد. نتایج نشان دادند که با افزایش تعداد اتمهای خوشه ها n از ۳ به ۵ فاصله بین مولکولی مولکولهای NO و CO با نانو خوشه ها افزایش می یابد و همچنین انرژی برهمکنش مولکول با نانو خوشه کاهش می یابد. یعنی قویترین برهمکنش بین مولکول با نانو خوشه در $\text{CO} \dots \text{CO}_3$ مشاهده می شود. با افزایش n از ۳ به ۵، طول پیوند B-N در نانو خوشه ها به ترتیب کاهش می یابد. براساس نظریه اتمها در مولکولها (AIM)، چکالی بار الکتریکی در نقاط بحرانی پیوندی بین مولکول با نانو خوشه با افزایش n کاهش می یابد که دلیل بر ضعیف بودن برهمکنش می باشد. می توان نتیجه گرفت که برای واکنش کاتالیستی تجزیه مولکولهای NO و CO ، نانو خوشه های 3 مناسب است.